

بررسی خصوصیات جریان غلیظ در اثر تغییر رژیم جریان

حسین بهرامی^{*}^۱، مهدی قمشی^۲، سید محمود کاشفی پور^۲، علی اکبر صالحی نیشابوری^۳

۱. گروه سازه های دریایی، دانشکده مهندسی دریا، دانشگاه علوم و فنون دریایی خرمشهر
۲. گروه سازه های آبی دانشکده مهندسی علوم آب، دانشگاه شهید چمران اهواز
۳. گروه عمران دانشکده فنی و مهندسی، دانشگاه تربیت مدرس تهران

تاریخ پذیرش: ۱۳۹۳/۹/۳

تاریخ دریافت: ۱۳۹۲/۹/۱۳

شناسه دیجیتال (DOI) : [10.22113/jmst.2017.7773.1390](https://doi.org/10.22113/jmst.2017.7773.1390)

چکیده

جریان غلیظ یک حرکت نسبی است که بین دو لایه سیال که حتی دارای اختلاف کمی در غلیظی هستند ایجاد می‌گردد. اختلاف جرم مخصوص ممکن است ناشی از دما، مواد معلق، مواد محلول و یا ترکیبی از آنها باشد. این نوع جریان‌ها بخصوص در مواردی مانند ورود آب حاوی رسوب رودخانه‌ها به مخازن سدها و یا دریاها و دریاچه‌ها از اهمیت ویژه‌ای برخوردار بوده و می‌تواند آثار متفاوتی از قبیل رسوب‌گذاری در مخازن سدها و مصب رودخانه به دریا و همچنین تغییر بستر مناطق ساحلی و نیز در نواحی فلات قاره بر جای بگذارد. در این میان شناخت بررسی نوع حرکت و نیز نقش تغییر رژیم از حالت فوق بحرانی به حالت زیر بحرانی یا به عبارتی ایجاد پرش هیدرولیکی، بر خصوصیات حرکت جریان بسیار مهم می‌باشد. بررسی نحوه حرکت یک جریان، نیازمند شناخت پروفیل‌های سرعت در مسیر جریان است. برای این منظور با استفاده از یک مدل فیزیکی و ایجاد یک جریان غلیظ با خصوصیات مختلف جریان ورودی، ضمن تحمیل شرایط تغییر رژیم، به اندازه‌گیری و بررسی پروفیل‌های سرعت در بدنه جریان پرداخته شد و تغییر خصوصیات جریان تحلیل گردید. نتایج نشان داد که ضرایب مربوط به پروفیل‌های سرعت در نواحی دیواره و جت به ترتیب برابر $2/08$ ، $2/087$ و $2/83$ برای جریان‌های زیر بحرانی و $1/174$ ، $1/062$ و $2/09$ برای جریان‌های فوق بحرانی بdst آمد. از دیگر نتایج می‌توان به کاهش 14 تا 19 درصدی سرعت و افزایش 21 تا 32 درصدی عمق جریان بر اثر پرش اشاره کرد. ضمناً در برخی موارد تفاوت زیادی بین نتایج رابطه تحلیلی پرش با داده های برداشتی مشاهده شد.

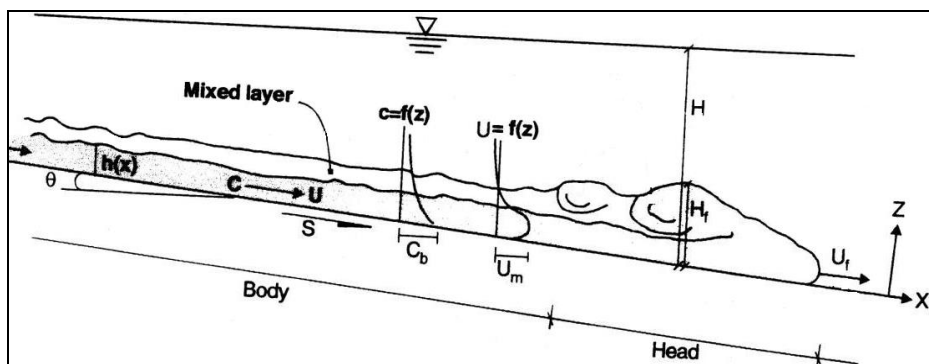
واژگان کلیدی: جریان غلیظ، مدل فیزیکی، رژیم جریان، پرش هیدرولیکی

* نویسنده مسئول، پست الکترونیک: hossein_bahrami1979@yahoo.com

درآگ این جریانها پتانسیل تخریب بالایی را نیز دارا می باشند. در شکل (۱) شماتیک یک جریان کدر دو بعدی با دانسیته ρ با سرعت متوسط U در جهت x روی یک سطح شیب دار با زاویه θ که از زیر یک توده سیال ساکن عمیق با دانسیته ρ_a حرکت می کند نشان داده شده است.

۱. مقدمه

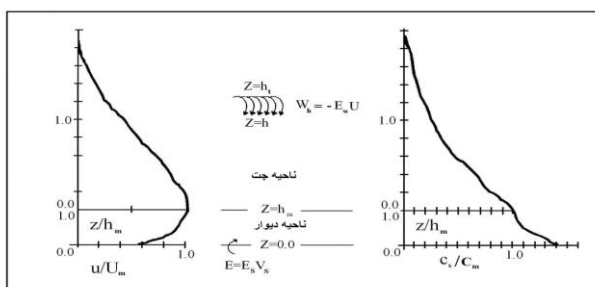
اصولاً جریان غلیظ را می توان ورود یک سیال با جرم مخصوص معلوم به یک توده سیال با جرم مخصوص متفاوت، به دلیل تأثیر شتاب ثقل بر روی اختلاف جرم مخصوص توصیف کرد (Graf.W.H., 1983). این جریان‌ها عامل اصلی انتقال رسوبات به داخل مخازن سدها، دریاچه‌ها و اقیانوس‌ها بوده که غالباً نیروی



شکل (۱) نمای شماتیک یک جریان غلیظ

همانگونه که ذکر شد، بدنه جریان به فاصله بین نقطه غوطه‌وری و رأس جریان اطلاق می‌گردد. توزیع سرعت در بدنه را مطابق آنچه که در شکل (۲) نشان داده شده، می‌توان به دو ناحیه متمایز دیوار^۱ و جت^۲ تقسیم‌بندی نمود. ارتفاع نظری سرعت ماکزیمم h_m این دو ناحیه را از هم جدا می‌کند (Altinakar et al, 1990).

جریان غلیظ دارای یک پیشانی و یا یک هد غلطان در داخل سیال پیرامون می‌باشد که توسط همین پیشانی، جریان غلیظ ورودی پس از برخورد به سیال ساکن پیرامون بصورت یک جریان زیرین به حرکت خود ادامه می‌دهد. این ناحیه اصطلاحاً ناحیه غوطه‌وری گفته می‌شود. در ادامه پیشانی جریان غلیظ، پس از ورود به سیال محیطی، بدنه جریان قرار دارد. جریان در پیشانی غیر دائمی بوده و نیروی محرک آن گرادیان فشار ناشی از اختلاف دانسیته بین پیشانی و سیال پیرامون است؛ اما جریان در بدنه معمولاً دائمی در نظر گرفته می‌شود و نیروی محرک بدنه، نیروی ثقل مؤثر بر سیال سنگین‌تر می‌باشد (Turner.J.S., 1973). در این تحقیق سعی بر آن است تا با ایجاد یک بستر افقی در امتداد یک شیب تند ضمن تحمیل تغییر رژیم، به بررسی و مقایسه پروفیلهای سرعت بدنه جریان غلیظ در حالت‌های زیر و فوق بحرانی پرداخته و با نتایج سایر محققین نیز مقایسه گردد.



شکل (۲) پروفیل‌های سرعت و غلظت جریان غلیظ

^۱- wall region

^۲- Jet region

رزیم جریان در جریان‌های غلیظ توسط عدد فرود اصلاح شده که به آن عدد فرود دنسیمتریک^۱ گفته می‌شود، بیان می‌شود.

$$Fr_d = \frac{U}{\sqrt{g'h}} \quad (4)$$

که در آن U سرعت نسبی بین لایه‌های سیال، h ضخامت لایه جریان غلیظ و g' گرانش موثر در لایه پایینی سیال (که ناشی از تاثیر شناوری سیال پیرامون بر روی سیال پایینی است) بوده و بصورت زیر تعریف می‌گردد:

$$g' = g \frac{\Delta\rho}{\rho} \quad (5)$$

که در آن g شتاب ثقل عمومی، $\Delta\rho$ اختلاف غلیظی بین سیال بالا و پایین و ρ غلیظی سیال پیرامون است. از آنجاییکه مرز بین جریان غلیظ و سیال به خوبی قابل تشخیص نمی باشد، ارتفاع (h) و سرعت (U) و غلظت (C_s) متوسط جریان غلیظ در یک مقطع را می‌توان توسط روابط زیر بیان نمود

: (Garcia, 1993)

$$Uh = \int_0^\infty u dz \quad (6)$$

$$U^2 h = \int_0^\infty u^2 dz \quad (7)$$

$$C_s Uh = \int_0^\infty (uc_s) dz \quad (8)$$

در روابط فوق u و c_s به ترتیب سرعت و غلظت نقطه‌ای در پروفیل عمقی جریان غلیظ می‌باشند. بطور کلی در جریان‌های غلیظ با مرزهای محدود از طرفین و در حالت یکبعدی، دائمی و پایدار معادلات دیفرانسیلی حاکم (معادلات پیوستگی آب، رسوب و معادله مومنتم) را می‌توان بصورت زیر نوشت (M.H.Garcia, 1993)

$$\frac{d}{dx}(Uh) = E_w U \quad (9)$$

در ناحیه دیوار ($Z < h_m$)، آشفتگی بدليل اصطکاک بستر و ورود رسوبات بستری بوده و در ناحیه جت ($Z > h_m$)، آشفتگی بدليل اصطکاک در مرز مشترک و ورود سیال محیطی است. توزیع سرعت جریان غلیظ در هر یک از نواحی دیوار و جت با روابط زیر بیان می‌شود:

- در منطقه دیواره توزیع سرعت لگاریتمی است:

$$\frac{u(z)}{u_*} = \frac{1}{k} \ln(z) + cte \quad (1)$$

که k ثابت کارمن است. البته عموما توزیع سرعت در این ناحیه بصورت یک رابطه توانی تجربی نیز بیان می‌شود:

$$\frac{u(z)}{u_m} = \left(\frac{z}{h_m} \right)^n \quad (2)$$

که در آن u_m سرعت ماقزیم و h_m ارتفاع نظری این سرعت است. در برخی تحقیقات مقدار $n=6$ پیشنهاد شده است (Altinakar et al, 1990).

- در ناحیه جت ($Z > h_m$) توزیع سرعت تقریبا گوسی است.

$$\frac{u(z)}{u_m} = \exp \left[-\alpha \left(\frac{z-h_m}{h-h_m} \right)^\beta \right] \quad (3)$$

در این رابطه $\alpha = 1.4$ و $\beta = 2.5$ پیشنهاد می‌شود. با استفاده از داده‌های آزمایشگاهی نتایج زیر حاصل شده است (Altinakar et al, 1990)

$$\frac{h_m}{h} \approx 0.3, \frac{u_m}{U} \approx 1.3, \frac{h_t}{h} \approx 1.3$$

h و U به ترتیب عمق و سرعت متوسط جریان بوده و h_t نیز ارتفاع معادل سرعت صفر می‌باشد. در تحقیقات انجام شده توسط (Hosseini et al, 2005)، پروفیل‌های بی‌بعد سرعت در سه شب ۱، ۲ و ۳ درصد با دبی‌ها و غلظت‌های مختلف ترسیم شد. نتایج این تحقیق نشان داد مقادیر مربوط به ضرایب توزیع سرعت در لایه دیواره $n=3$ و در لایه جت $\beta = 2.2$ و $\alpha = 1.3$ می‌باشد.

^۱ - Densimetric Froude Number

$$\frac{d}{dx}(C_s Uh) = V_s(E_s - c_b) \quad (10)$$

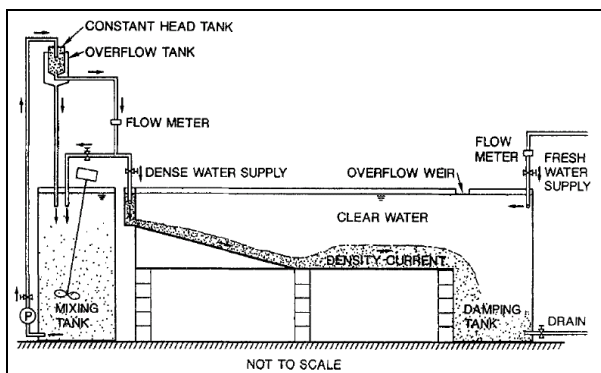
$$\frac{d}{dx}(U^2 h) = -\frac{1}{2} g R \cos \theta \frac{d}{dx}(C_s h^2) + (g R C_s h) \sin \theta - u_*^2 \quad (11)$$

$$\frac{U_2}{U_1} = \left[\frac{\sqrt{1+8Ri_1^{-1}} - 1}{2} \right]^{-1} \quad (15)$$

$$\frac{h_2}{h_1} = \left[\frac{\sqrt{1+8Ri_1^{-1}} - 1}{2} \right] \quad (16)$$

که در آن U , h و R به ترتیب سرعت و ارتفاع متوسط جریان غلیظ می باشند. جریانهای فوق بحرانی نسبتاً تندر و کم ارتفاع بوده که تنفس برشی زیادی را روی بستر ایجاد می کنند در صورتی که جریانهای زیر بحرانی دارای ارتفاعی زیاد و تنفس برش اعمالی کمی روی بستر هستند. این کاهش تقریباً ناگهانی تنفس را می توان ته نشینی رسوبات ناشی از پرش جستجو کرد (kostic and parker,2005). انتقال از یک وضعیت فرسایشی در بالا دست به یک وضعیت ته نشینی در پایین دست را نیز می توان بخوبی در عدم تداوم در شیب مشاهده نمود (Garcia 1993).

(Garcia, 1993) آزمایشات وسیعی در خصوص تغییر رژیم جریان غلیظ انجام داد. ایشان اقدام به انجام آزمایشاتی از طریق ساخت یک مدل فیزیکی نمود. آزمایش های وی در یک فلوم به عرض ۳۰ سانتیمتر، ارتفاع ۸۵ سانتیمتر و طولی در حدود ۱۲ متر انجام شد. شماتیک فلوم مذکور در شکل (۳) نشان داده شده است.



شکل (۳) شماتیک مدل فیزیکی گارسیا

که در آن E_w ضریب کشش سیال پیرامون، E_s ضریب کشش رسوبات، c_b غلظت رسوبات نزدیک بستر، $R = \frac{\rho_s}{\rho_a} - 1$ و $u_* = \sqrt{g'h \cos \theta}$ سرعت برشی بستر می باشند. از دیگر پارامترهای اساسی در جریان غلیظ عددی موسوم به ریچاردسون است که در واقع عکس مجدور عدد فرود می باشد (Turner.J.S,1973). در جریان غلیظی که بر روی بستری با شیب کف $S = tg \theta$ در حرکت است، عدد فرود جریان غلیظ (F_{r_d}) و عدد ریچاردسون (Ri) به صورت زیر تعریف می گردد:

$$F_{r_d} = \frac{U}{\sqrt{g'h \cos \theta}} \quad (12)$$

$$(13)$$

$$Ri = \frac{g'h \cos \theta}{U^2} = \frac{1}{F_{r_d}^2} \quad (14)$$

پرش هیدرولیکی در منطقه ای رخ می دهد که دارای انتقال تندر و ناگهانی رژیم جریان از حالت فوق بحرانی (عدد فرود دنسیومتریک بزرگتر از یک و عدد ریچاردسون کمتر از واحد) به حالت زیر بحرانی (عدد فرود دنسیومتریک کوچکتر از یک و عدد ریچاردسون بیشتر از واحد) باشد. از اولین مطالعات انجام شده در خصوص تغییر رژیم در جریانهای دو فازه میتوان به مطالعات (Yih and Guha,1955) اشاره کرد که در آن با توجه به معادلات پیوستگی و مومنتوم جریان غلیظ، روابط ساده شده حاکم بر پدیده پرش هیدرولیکی درونی جریان غلیظ بصورت زیر بیان کردند:

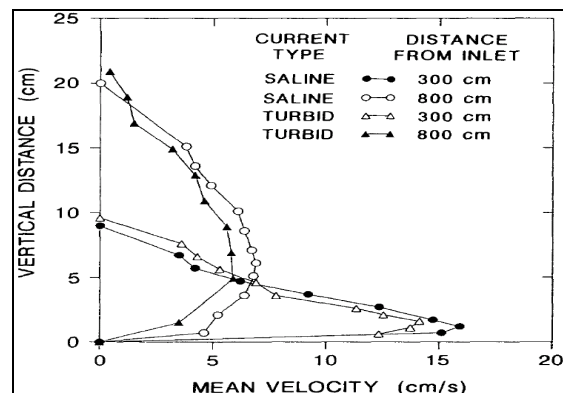
$$Ri_2 = \left[\frac{\sqrt{1+8Ri_1^{-1}} - 1}{2} \right]^3 \quad (14)$$

۲. مواد و روش ها

آزمایش‌های انجام شده در فلومی با طول ۸ متر، عرض ۵۰ سانتیمتر و ارتفاع ۸۰ سانتیمتر صورت گرفت. جهت ایجاد شرایط لازم برای تحمیل تغییر رژیم جریان، در میانه فلوم یک ناحیه شیبدار که با تغییر ارتفاع شیب آن قابل تغییر بود تعییه شد. دو قسمت افقی ابتدایی و انتهایی به ترتیب دارای طولهای ۲ و $\frac{3}{5}$ متر و قسمت شیبدار میانی دارای طول قاعده $\frac{2}{5}$ متر و ارتفاع متغیر بود. به منظور ایجاد شیبهای متفاوت ارتفاع یاد شده در سه حالت $\frac{1}{2}$ متر، $\frac{1}{3}$ متر و $\frac{1}{4}$ متر تنظیم شده که به ترتیب شیبهایی معادل $4/57$ ، $6/84$ و $9/09$ درجه ایجاد نماید. تعداد ۲۷ آزمایش به گونه‌ای انجام شد که در هر شیب، سه دبی متفاوت (دبی‌های $0/05$ ، $0/01$ و $0/05$ لیتر بر ثانیه) و در هر دبی نیز سه غلظت متفاوت از جریان غلیظ نمکی (با جرم حجمی ۱۰۰۷، ۱۰۱۴ و ۱۰۲۰ کیلوگرم بر متر مکعب) مورد ارزیابی قرار گرفت. مشخصات کلی مدل فیزیکی در شکل (۵) بصورت شماتیک نشان داده شده است.

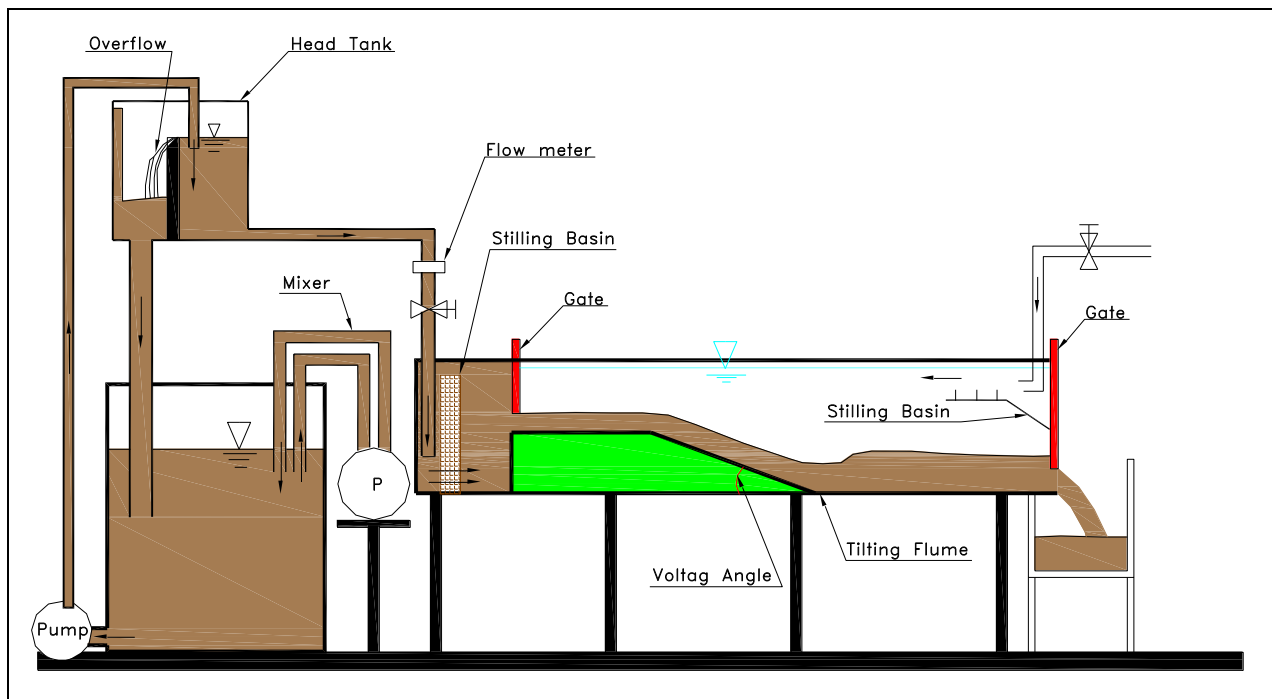
به منظور بررسی تغییر شرایط جریان بر اثر تغییر رژیم، پروفیلهای سرعت جریان غلیظ در طول فلوم در سه مقطع که به ترتیب در فواصل 447 ، 491 و 574 سانتیمتری از ابتدای فلوم قرار داشتند و تغییر رژیم جریان در آنها مشاهده شد برداشت و بررسی گردید. این مقاطع به ترتیب در میانه ناحیه شیبدار، انتهای ناحیه شیبدار و در قسمت افقی انتهایی قرار داشت. برداشت پروفیل عمقی سرعت جریان توسط یک دستگاه سرعت سنج اکوستیک پروفیلر (ADCP, DOP2000) و با قرار دادن سنسورهای این دستگاه در سطح آب و در خط مرکزی فلوم برداشت گردید.

۵ متر ابتدای فلوم دارای شیب $2/6$ درجه بود که به یک بستر افقی منتهی می‌شد. Garcia در حدود ۳۰ آزمایش انجام داد که در همه آنها ارتفاع جریان ورودی که توسط دریچه تنظیم می‌شد ۳ سانتیمتر تعیین شده بود. اندازه‌گیری‌های جریان بر بدنه متمرکز گردید و دقایقی پس از آن که پیشانی جریان به مخزن انتهایی می‌رسید، آغاز شد. انتقال رژیم جریان نیز در آزمایشات مذکور مشاهده گردید. در شکل (۴) تغییرات سرعت جریان بدلیل تغییر رژیم در جریانهای غلیظ نمکی و رسوبی با شرایط ورودی مشابه بدون آنکه رابطه‌ای ارائه شود، مقایسه شده است.

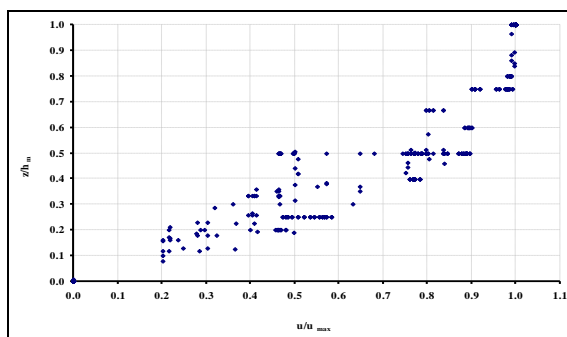


شکل (۴) مقایسه تغییرات سرعت قبل و بعد از تغییر رژیم

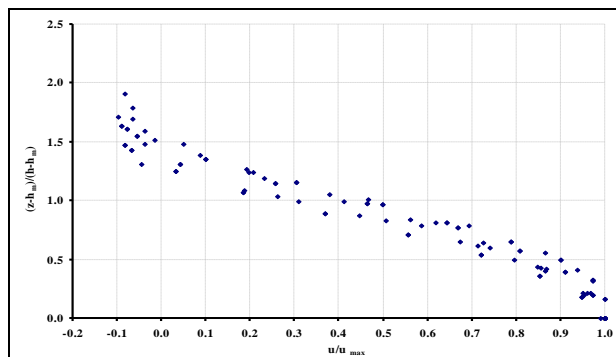
در این تحقیق سعی بر آن است که با استفاده از یک مدل فیزیکی، شرایطی فراهم شود تا ضمن تغییر رژیم جریان غلیظ و ایجاد پرش هیدرولیکی، خصوصیات جریان از جمله عمق، سرعت و نیز کشش آب ساکن پیرامون بررسی گردد. با توجه به وجود روابط تحلیلی پرش هیدرولیکی جریان غلیظ، مقایسه مشاهدات آزمایشگاهی با نتایج محاسبه شده از حل تحلیلی معادلات پرش، از دیگر اهداف این پژوهش می‌باشد.



شکل(۵)، شماتیک فلوم و تاسیسات استفاده شده در انجام آزمایشات



شکل(۷) توزیع بی بعد سرعت در ناحیه فوقانی، جریان زیر بحرانی

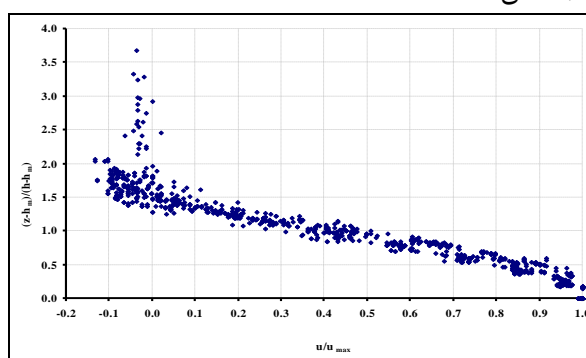


شکل (۸) توزیع بی بعد سرعت در جریان فوق بحرانی در ناحیه زیرین

۳. نتایج

همانگونه که عنوان شد، پروفیل عمقی جریان غلیظ را می‌توان به دو ناحیه تقسیم نمود. یک لایه زیرین که از بستر تا محل وقوع سرعت ماکزیمم امتداد دارد و ناحیه سرعت بیرونی که از ارتفاع سرعت ماکزیمم آغاز شده و تا مرز جریان غلیظ و سیال پیرامون امتداد می‌یابد. جهت بررسی تأثیر رژیم جریان بر پروفیل‌های سرعت جریان غلیظ، پروفیل‌های برداشت شده در دو دسته پروفیل‌های سرعت در جریان‌های زیر بحرانی و فوق بحرانی از یکدیگر تفکیک و بررسی شدند.

پروفیل‌های بی بعد شده سرعت در شکل‌های (۶) تا (۹) نشان داده شده است:



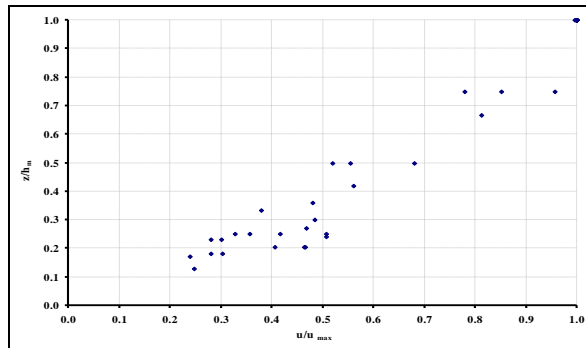
شکل (۶) توزیع بی بعد سرعت در ناحیه زیرین، جریان زیر بحرانی

نسبت‌های مربوط به $\frac{U}{u_m}$, $\frac{h_t}{h}$, $\frac{h}{h_m}$ ، استخراج و در جدول (۱) خلاصه شده است.

جدول (۱) مقایسه خصوصیات پروفیل سرعت در جریان‌های زیربحرانی و فوق بحرانی

پارامتر	جریان زیر بحرانی	جریان فوق بحرانی	جریان زیر بحرانی
h/h	$1/14-1/24$	$1/22-1/35$	$1/14-1/24$
h/h_m	$2/85-3/9$	$1/87-2/4$	$2/85-3/9$
U/u_m	$0/73-0/88$	$0/65-0/7$	$0/73-0/88$

در جدول فوق، h عمق متوسط جریان غلیظ، h_m ارتفاعی که سرعت ماکزیمم در آن اتفاق می‌افتد، h_t عمق توسعه یافته جریان غلیظ (تا ارتفاعی که سرعت در لایه بینابین صفر می‌شود)، U سرعت متوسط و سرعت ماکزیمم است. همانگونه که از جدول (۱) بر می‌آید، ارتفاع سرعت ماکزیمم در جریان‌های فوق بحرانی پایین‌تر از جریان‌های زیر بحرانی و نزدیک‌تر به بستر جریان است. این حالت را می‌توان در شکل (۱۰) بخوبی ملاحظه نمود. به منظور بررسی مشخصات پرش هیدرولیکی جریان غلیظ، دو مقطع در قبل و بعد از پرش انتخاب و پروفیلهای سرعت برداشت شده بررسی شد. جدول (۲) بیانگر مشخصات آزمایشاتی است که در آنها پدیده پرش هیدرولیکی ثبت گردیده است.



شکل (۹) توزیع بی بعد سرعت در جریان فوق بحرانی در ناحیه فوقانی

با توجه به شکل‌های فوق، می‌توان معادلات پروفیل بی بعد سرعت یگانه‌ای بر آزمایشات انجام شده مطابق روابط زیر ارائه نمود.

- در جریان زیر بحرانی

$$\frac{u}{u_{max}} = \exp \left[-0.87 \left(\frac{z-h_m}{h-h_m} \right)^{2.83} \right] \quad (17)$$

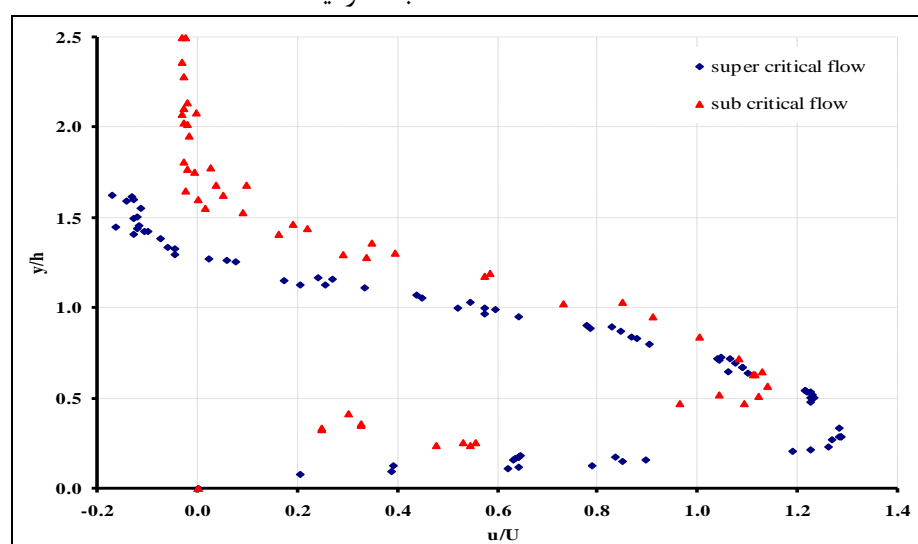
$$\frac{u}{u_{max}} = \left(\frac{z}{h_m} \right)^{1/2.08} \quad (18)$$

- در جریان فوق بحرانی

$$\frac{u}{u_{max}} = \exp \left[-1.062 \left(\frac{z-h_m}{h-h_m} \right)^{2.9} \right] \quad (19)$$

$$\frac{u}{u_{max}} = \left(\frac{z}{h_m} \right)^{1/1.74} \quad (20)$$

با توجه به تفاوت‌های مشاهده شده در پروفیلهای سرعت مربوط به دو رژیم زیر بحرانی و فوق بحرانی،



شکل (۱۰) تفاوت پروفیل سرعت در جریان‌های زیر بحرانی و فوق بحرانی

جدول ۲- مشخصات پرش هیدرولیکی ثبت شده

h_d (m)	q_0 (cm^2/sec)	ρ (kg/m^3)	R_{i1}	U_2/U_1	h_2/h_1	q_2/q_1
۰/۴	۳	۱۰۰۷	۰/۷	۰/۸۵	۱/۲۶	۱/۰۶
	۲		۰/۸۹	۰/۸۶	۱/۲۱	۱/۰۵
۰/۳	۳	۱۰۰۷	۰/۷۷	۰/۸۵	۱/۲۷	۱/۰۸
	۲		۰/۷۸	۰/۸۳	۱/۳۱	۱/۰۸
۰/۲	۳	۱۰۰۷	۰/۷۶	۰/۸۴	۱/۲۷	۱/۰۷
	۲		۰/۹۲	۰/۸۱	۱/۳۲	۱/۰۷

اندیس ۱ و ۲ به ترتیب مربوط به خصوصیات جریان قبل و بعد از پرش می‌باشد.

شرایط آزمایشگاهی بیشتر از عمق ثانویه محاسبه شده است.

۴. بحث و نتیجه گیری

تحقیق حاضر به منظور بررسی پروفیل‌های عمقی سرعت جریان غلیظ بر اثر تغییر رژیم جریان انجام گردید. بدین منظور با استفاده از ایجاد مدل فیزیکی مورد نظر، آزمایشات متعددی انجام شد و مهمترین نتایج بدست آمده به شرح زیر بدست آمد:

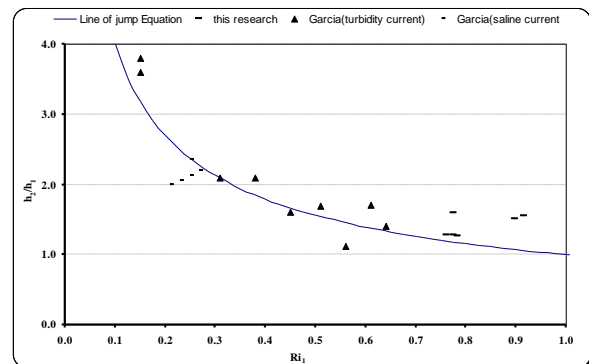
-توزیع سرعت در ناحیه زیرین از رابطه نمایی تبعیت کرده و مقدار ضریب آن در رژیمهای زیر بحرانی و فوق بحرانی به ترتیب $2/08$ و $1/74$ می‌باشد.

-توزیع سرعت در ناحیه فوقانی ازتابع گوسین پیشنهاد شده تبعیت کرده و مقدار ضرایب آن در رژیم زیر بحرانی $0/87$ و $2/83$ و در رژیم فوق بحرانی $1/062$ و $2/9$ می‌باشد.

-پروفیل‌های عمقی سرعت در رژیمهای فوق بحرانی و زیر بحرانی با یکدیگر متفاوت بوده و ارتفاع سرعت ماکریم در جریان‌های فوق بحرانی پایین‌تر از جریان‌های زیر بحرانی و نزدیک‌تر به بستر جریان اتفاق می‌افتد. به نظر می‌رسد این تفاوت را بتوان ناشی از اندازه سرعت جریان در کاهش تاثیر لایه بینابینی دانست.

-پرش‌های ایجاد شده دارای محدوده عدد ریچاردسون $0/7$ تا $0/915$ در مقطع قبل از پرش (در جریان فوق بحرانی) بوده است. سرعت جریان پس از پرش در حدود 14 تا 19 درصد کاهش داشت. عمق ثانویه

همانگونه که از جدول فوق ملاحظه می‌گردد، روند کاهشی سرعت جریان پس از وقوع پرش در حدود 14 تا 19 درصد می‌باشد. افزایش عمق جریان نیز در حدود 21 تا 32 درصد مشاهده گردید. نسبت اعماق قبل و بعد از پرش اندازه گیری شده با نتایج حاصل از حل تحلیلی معادله پرش هیدرولیکی در جریان غلیظ در شکل ۱۱ نشان داده شده است. داده‌های استفاده شده شامل نتایج آزمایشات تحقیق حاضر و نتایج بدست آمده از آزمایشات گارسیا (Garcia, 1993) می‌باشد.



شکل ۱۱- مقایسه اعماق مزدوج پرش هیدرولیکی داخلی محاسباتی با نتایج آزمایشگاهی

آنچه که از نمودار فوق برمی‌آید حاکی از آنست که در برخی موارد تفاوت زیادی بین نتایج رابطه تحلیلی پرش با داده‌های برداشتی وجود دارد. این تفاوت در برخی موارد تا بیش از 30 درصد نیز میرسد. لازم به ذکر است که در اکثر موارد عمق ثانویه پرش در

-در برخی موارد تفاوت زیادی بین نتایج رابطه تحلیلی پرش با داده های برداشتی وجود دارد بطوریکه این تفاوت در برخی موارد تا بیش از ۳۰ درصد نیز می‌رسد. این تفاوت را می‌توان ناشی از عواملی چون اثر شتاب ثقل کاهش یافته جریان، کشش آب ساکن به درون جریان غلیظ و نیز محدوده دقیق عدد ریچاردسون بحرانی دانست.

منابع

- Altinakar M.S., Graf W.H. and Hopfinger E.J., 1990, weakly deposits turbidity current on a small slope, Journal of Hydraulic Research, Vol. 28, No. 1.
- Garcia,M.H, 1993, Hydraulic jumps in sediment-driven bottom currents. J.Hydraulic.Eng. 119, 1094–1117.
- Graf, W.H., 1983, the behavior of a silt-laden current, International Water Power & Dam Construction, Vol. 35, No. 9.
- Hosseini, et al.,2005, Synchronous measurements of the velocity and concentration in low Density turbidity currents

پرش بین ۲۱ تا ۳۲ درصد نسبت به عمق اولیه پرش افزایش داشت. نتایج فوق به دلیل ماهیت پدیده پرش هیدرولیکی است؛ زیرا با تغییر رژیم جریان از فوق بحرانی به زیر بحرانی قاعده سرعت جریان کاهش و عمق افزایش می‌یابد. با این حال میزان این تغییرات در جریان‌های غلیظ متأثر از عوامل دیگر از جمله شتاب ثقل کاهش یافته جریان نیز می‌باشد که با توجه به میزان آن، اثرات متفاوتی نیز قابل پیش‌بینی است.

using an Acoustic Doppler Velocimeter, Flow Measurement and Instrumentation, 17, 59-68.

Turner, J.S., 1973, Buoyancy effects in fluids, Cambridge University Press, Cambridge, England.

Kostic, Parker, 2005. The Response of Turbidity Currents to a Canyon-Fan Transition: Internal Hydraulic Jumps and Depositional Signatures, National Center for Earth-surface Dynamics, St. Anthony Falls Laboratory, University of Minnesota, Minneapolis, MN, 55414, USA.

Yih, C.S and C.R.Guna., 1955, Hydraulic jump in a fluid system of two layers, tellus, Vol7.

Investigating the characteristics of the density current due to changes in the flow regime

Bahrami, Hossein^{1*}. Ghomeshi, Mehdi². kashefi por, Seyed Mahmoud². Salehi Neyshabouri, Seyed. Ali. Akbar.³

1. Department of Marine Structures, Faculty of Engineering, Khorramshahr University of marine science and technology
2. Department of hydraulic structure, Faculty of water science engineering, shahid chamran University, Ahwaz.
3. Department of Hydraulic Structures, Faculty of Civil Engineering., Tarbiat Modares University., Tehran.

The density current is a relative movement that occurs between two fluid layers, even if they slightly vary in density. The difference in specific mass may be due to temperature, suspended matter, dissolved materials, or a combination of them. These flows are especially important in cases such as the inflow of muddy rivers into the reservoirs of dams or seas and lakes, and can have different effects, such as sedimentation in dams and river estuaries to the sea, the change of the coastal beds and continental shelf areas. Therefore, the study of this type of motion and the effect of changing the regime from the supercritical to the subcritical (the creation of a hydraulic jump) is very influential regarding flow characteristics. The study of fluid flow requires the identification of velocity profiles in the flow path. For this purpose, by applying a physical model and creating a flow with different input characteristics and imposing regime change conditions, the velocity profiles in the flow body were measured and the flow characteristics were analyzed. The results showed that the coefficients of the velocity profiles in the wall and jet areas were 0.82, 0.87 and 2.83 respectively for subcritical flows and 1.174, 1.26 and 2.9 for supercritical currents. Other results include a 14 to 19 percent reduction in speed and a 21 to 32 percent increase in flow depth due to the jump. In addition, in some cases, there were significant difference between the results of the analytical jump relationship and the experimental data.

Keywords: Density current, Physical modeling, Flow regime, Hydraulic jump

- Fig (1).A schematic of a dense current
- Fig (2). Velocity and concentration profiles in density current
- Fig (3). Schematic of Garcia's Physical Model
- Fig (4). Comparison of changes in speed before and after regime change
- Fig (5). Schematic Flume and Facilities Used in Experiments
- Fig (6). Dimensionless distribution in the lower region, subcritical flow
- Fig (7). Dimensionless distribution of velocity in the upper region, subcritical flow
- Fig (8). Dimensionless distribution of velocity in the supercritical flow in the lower region
- Fig (9). Dimensionless distribution of velocity in supercritical flow in the upper region
- Figure (10). Difference of the profile of speed in subcritical and supercritical flows
- Fig (11). Comparison of Computational Hydraulic jump conjugate depth with Laboratory Results
- Table (1). Comparison of velocity profile characteristics in subcritical and supercritical flows
- Table (2). Recorded hydraulic jump characteristic

*Corresponding author E-mail: hossein_bahrami1979@yahoo.com